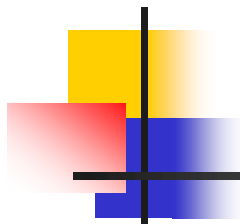
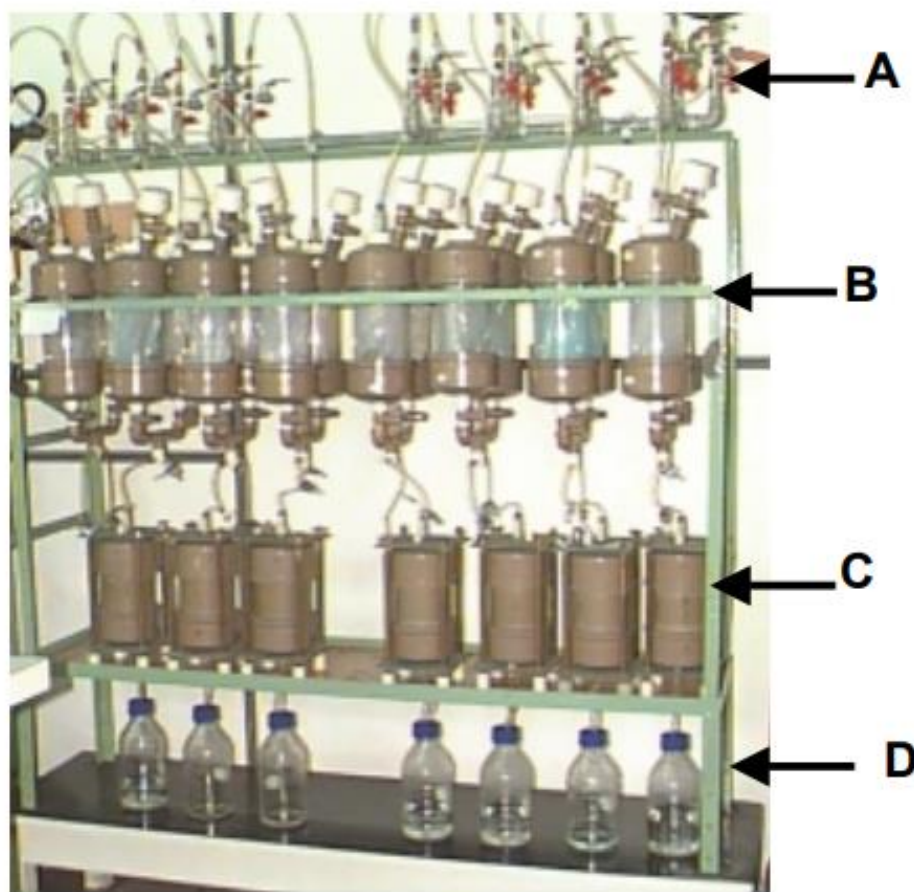




Figura 4.15 – Frasco de Mariotte preenchido com água ao lado de corpo-de-prova em câmara do aparelho Tri-Flex.

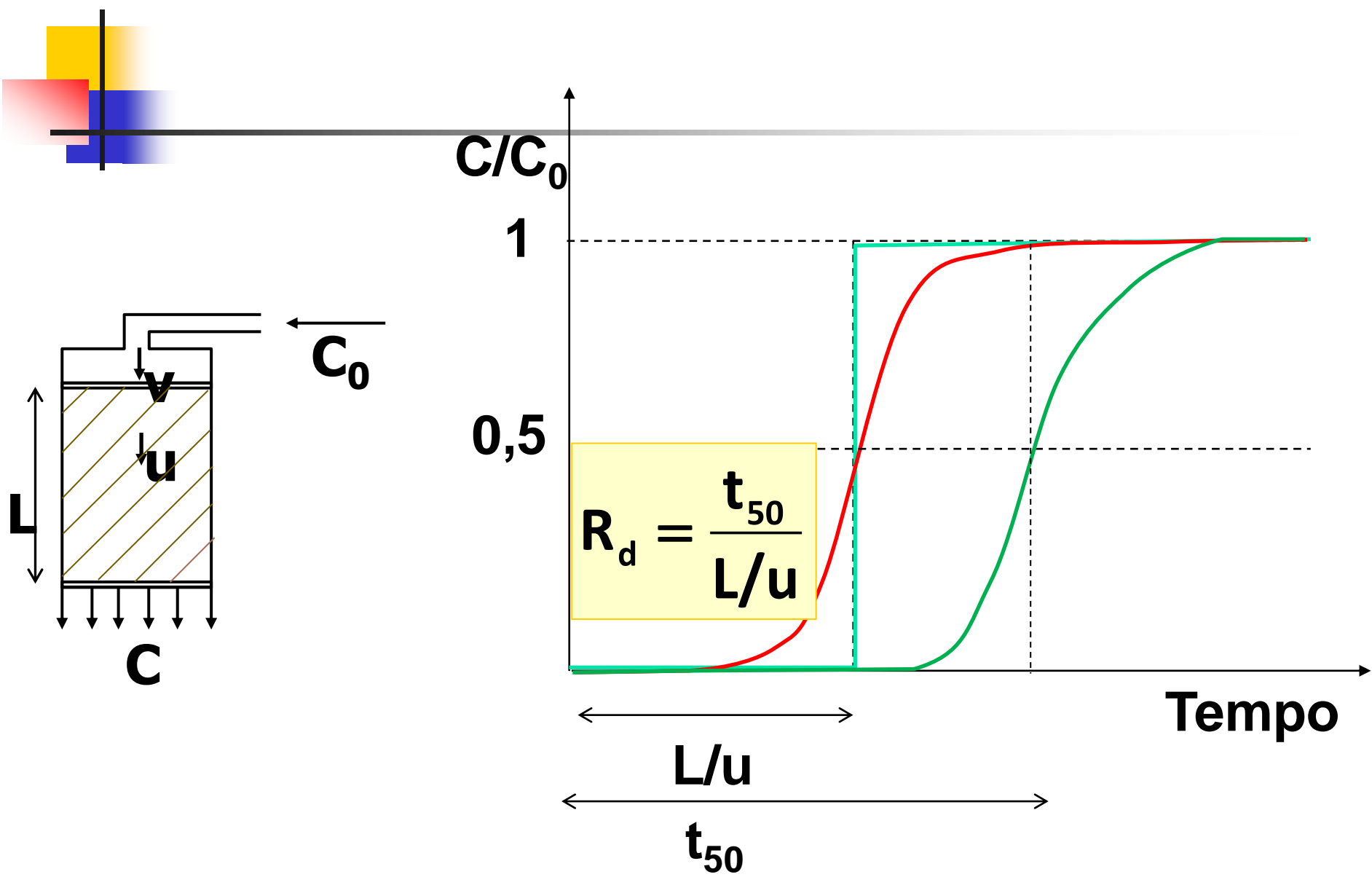


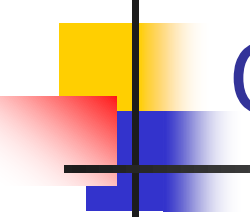




Basso, 2003

Ensaio de coluna: “breakthrough curve”





Obtenção de R_d

Estimativa de R_d pela comparação entre a velocidade da água e a velocidade da frente de soluto

$$R_d = \frac{u}{u_s}$$

R_d fator de retardo

u velocidade específica ($= v/n$)

v velocidade de percolação ou de Darcy ($= ki$)

n porosidade

k coeficiente de permeabilidade ou de condutividade hidráulica

i gradiente hidráulico

u_s velocidade da frente de soluto ($= L/t_{0,5}$)

L altura do corpo-de-prova

$t_{0,5}$ tempo para o qual $c_e/c_0=0,5$

c_0 concentração da solução aplicada no solo

c_e concentração efluente

Exemplo

Areia ensaiada com uma solução de 0,086 g/L de cloreto de sódio

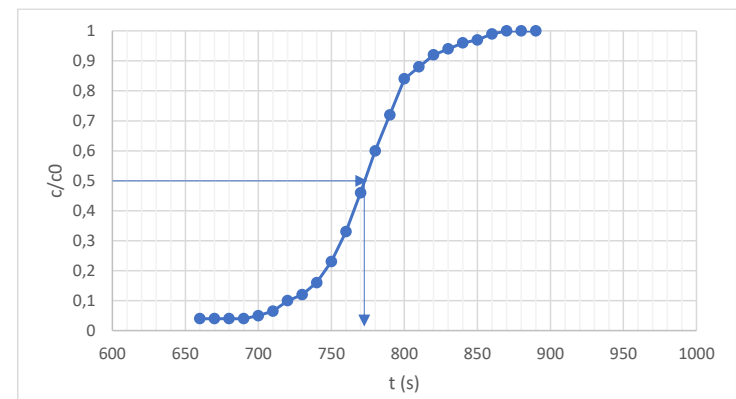
Dados: $u = 1,3 \times 10^{-4}$ m/s e $L = 10$ cm

Tempo (s)	c/c ₀	Tempo (s)	c/c ₀	Tempo (s)	c/c ₀
660	0,04	740	0,16	820	0,92
670	0,04	750	0,23	830	0,94
680	0,04	760	0,33	840	0,96
690	0,04	770	0,46	850	0,97
700	0,05	780	0,6	860	0,99
710	0,065	790	0,72	870	1
720	0,10	800	0,84	880	1
730	0,12	810	0,88	890	1

$$u_s = \frac{L}{t_{0,5}}$$

$$u_s = \frac{0,10 \text{ m}}{770 \text{ s}} = 0,00013 \text{ m/s}$$

$$R_d = \frac{u}{u_s} = 1,0$$



Exemplo

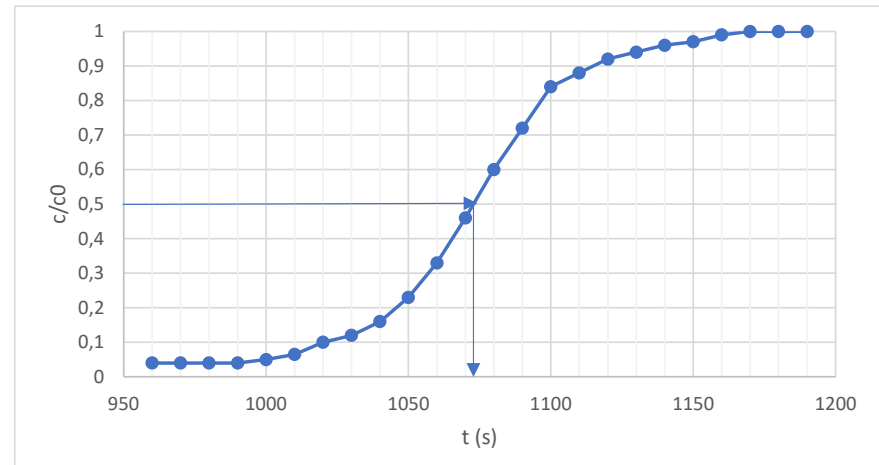
Areia ensaiada com uma solução de 0,086 g/L de cloreto de sódio

Dados: $u = 1,3 \times 10^{-4}$ m/s e $L = 10$ cm

$$u_s = \frac{L}{t_{0,5}}$$

$$u_s = \frac{0,10\text{ m}}{1074\text{ s}} = 9,3 \times 10^{-5} \text{ m/s}$$

$$R_d = \frac{u}{u_s} = 1,4$$



Obtenção de R_d pela curva $c_e/c_0 \times T$

$$T = \frac{ut}{L} = \frac{V_e}{V_v}$$

e

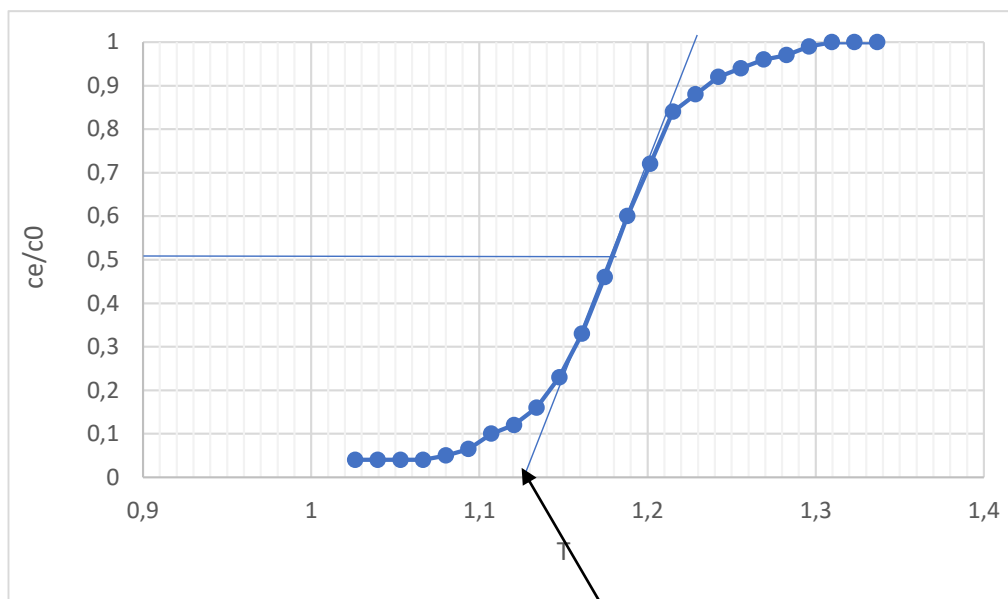
$$P_L = \frac{uL}{D_{dh}}$$

T número de volume de poros

V_e volume efluente

V_v volume de vazios do corpo-de-prova

P_L número de Peclet



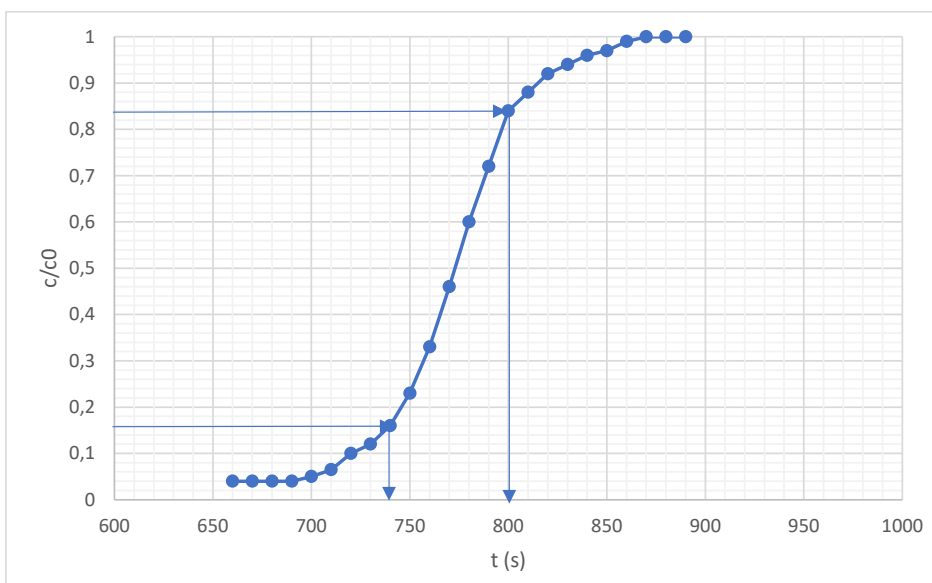
$R_d = 1,13$

Obtenção de D_{dh} : soluto não reativo

Estimativa de R_d pela comparação entre a velocidade da água e a velocidade da frente de soluto

$$D_{dh} = \frac{1}{8} \left[\frac{L - ut_{0,16}}{\sqrt{t_{0,16}}} - \frac{L - ut_{0,84}}{\sqrt{t_{0,84}}} \right]^2$$

$t_{0,16}$ tempo para o qual $c_e/c_0=0,16$
 $t_{0,84}$ tempo para o qual $c_e/c_0=0,84$



$$D_{dh} = \frac{1}{8} \left[\frac{0,10 - 0,00013 \cdot 740}{\sqrt{740}} - \frac{0,10 - 0,00013 \cdot 800}{\sqrt{800}} \right]^2 = 9,88 \times 10^{-9} \text{ m}^2/\text{s} = 1,0 \times 10^{-8} \text{ m}^2/\text{s}$$

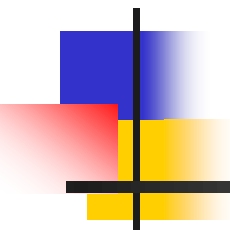
Transporte de poluentes unidimensional em solo homogêneo, isotrópico, saturado, com fluxo de água permanente e uniforme, com reação química de adsorção representada por isoterma linear

$$\left(1 + \frac{K_d \rho_d}{n}\right) \frac{\partial c}{\partial t} = D_{dh} \frac{\partial^2 c}{\partial z^2} - u \frac{\partial c}{\partial z}$$

Diagram illustrating the components of the equation:

- The term $\left(1 + \frac{K_d \rho_d}{n}\right)$ is highlighted with a blue box and labeled R_d below it.
- The term D_{dh} is highlighted with a blue box and labeled $D_d + \alpha u$ below it.
- The term $u \frac{\partial c}{\partial z}$ is highlighted with a blue box and labeled $K i/n$ below it.

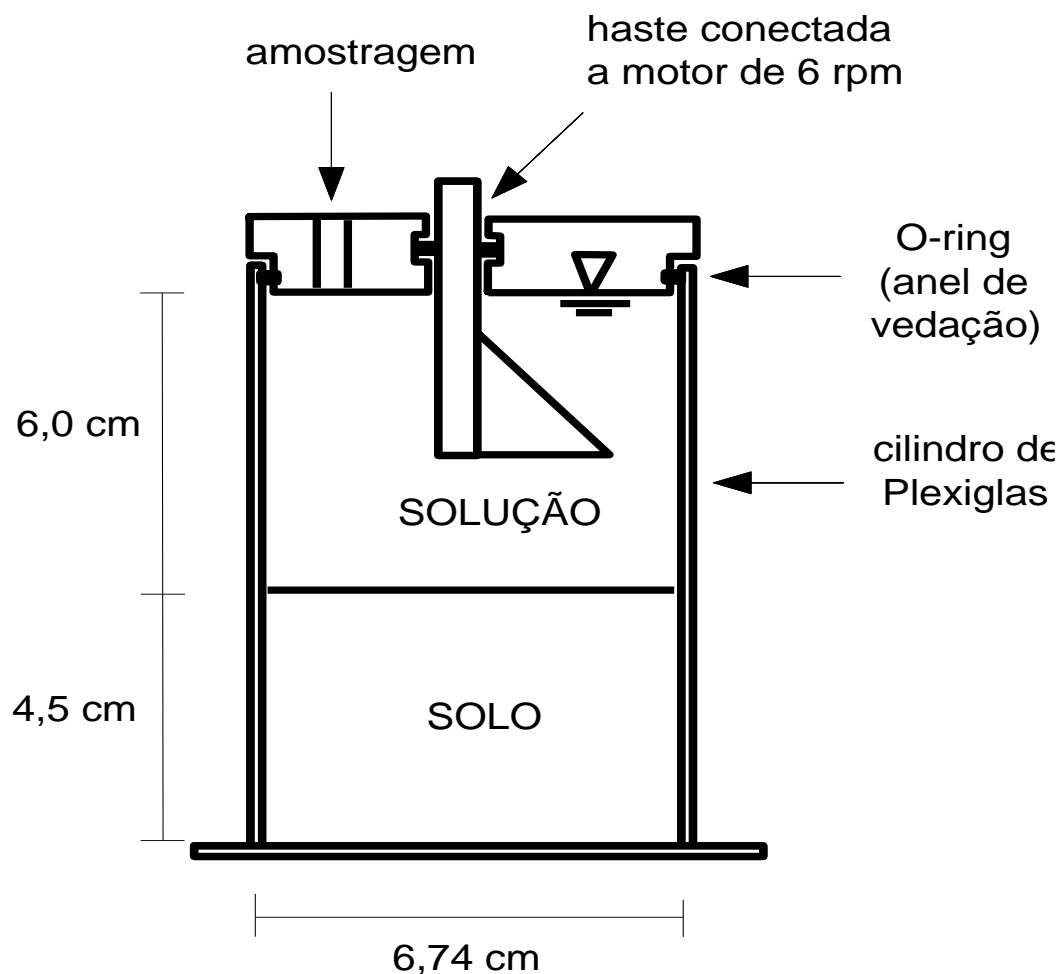
EPUSP – Engenharia Ambiental



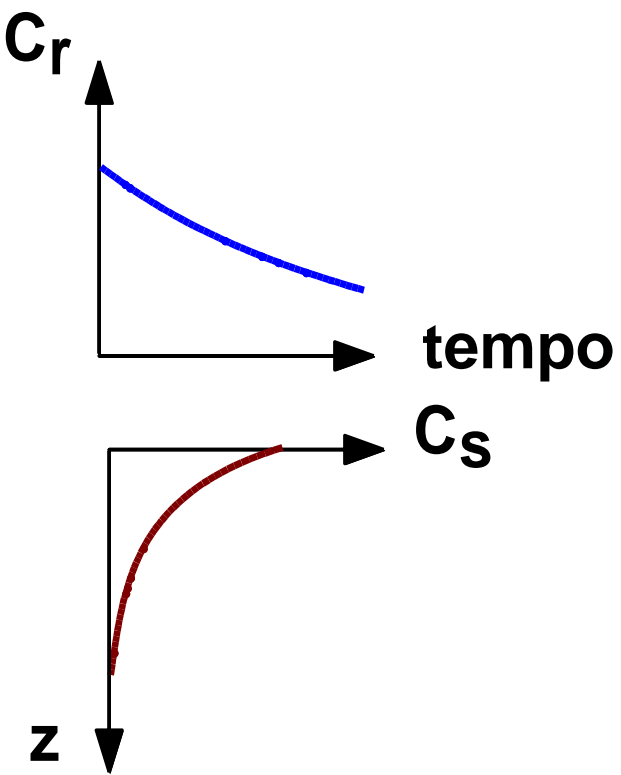
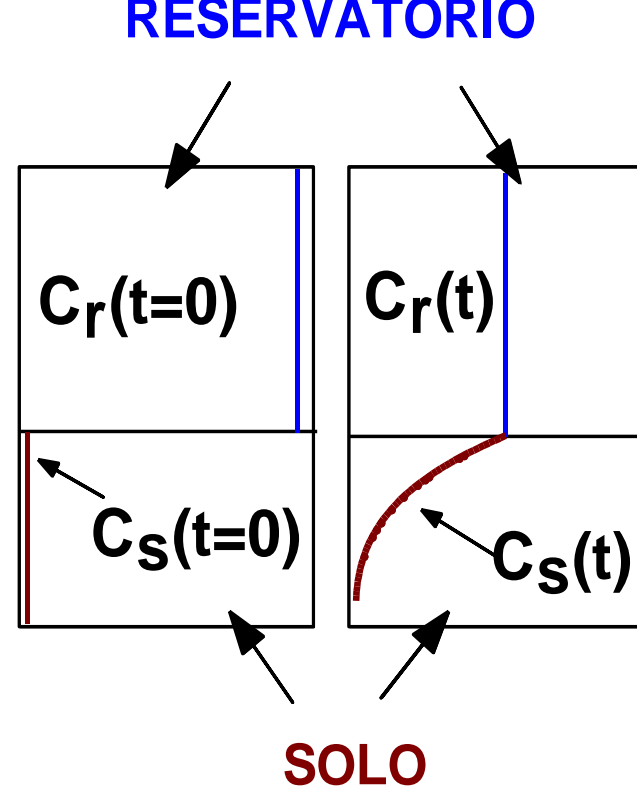
Difusão

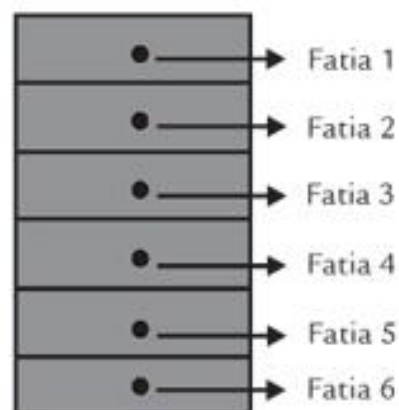
PEF3304 Poluição de Solos

Ensaio de difusão - montagem

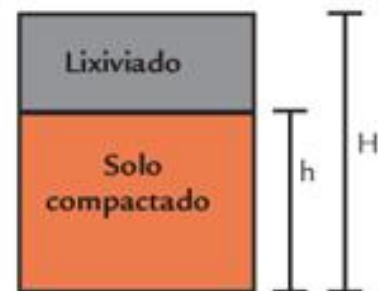


Ensaio de difusão - resultados

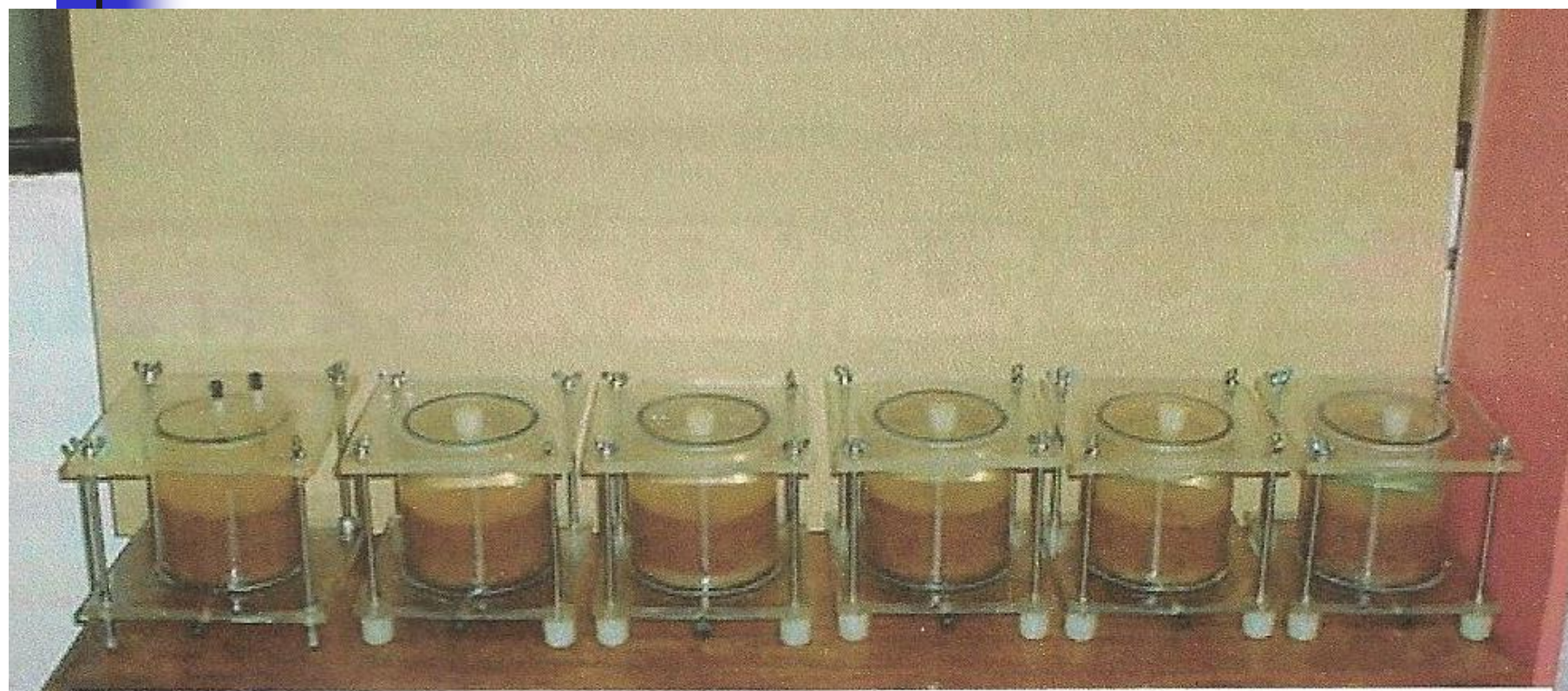




Célula modificada
de Barone



(Lacerda et al., 2011)



H₂O

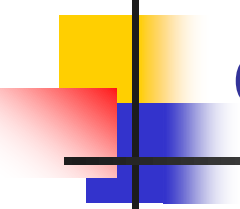
50

100

200

400

800 mg/L



Comportamento de alguns poluentes em difusão em solos lateríticos

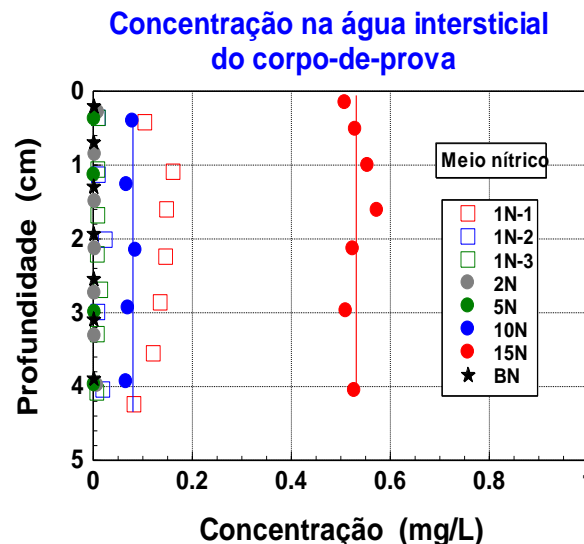
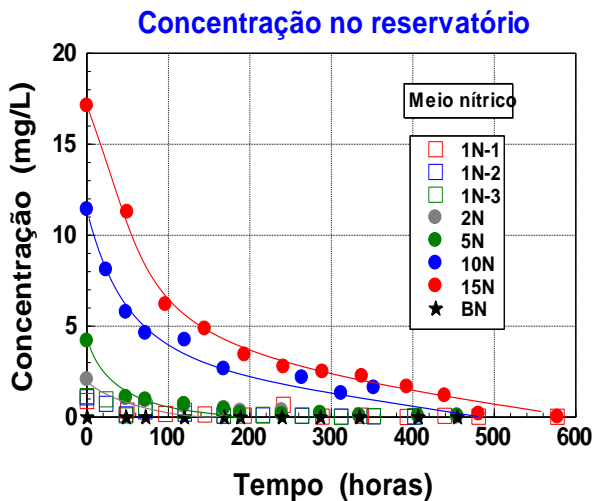
- Difusão de rádio em argila laterítica da Bahia
- Difusão de urânio em meio nítrico e em meio sulfúrico em argila laterítica da Bahia
- Difusão de As, Se, Ag e Cr em pH 1 em argila laterítica da RMSP
- Difusão de cobre e selênio em pH 1 e pH 4 em argila laterítica da RMSP

Difusão de rádio – argila laterítica compactada

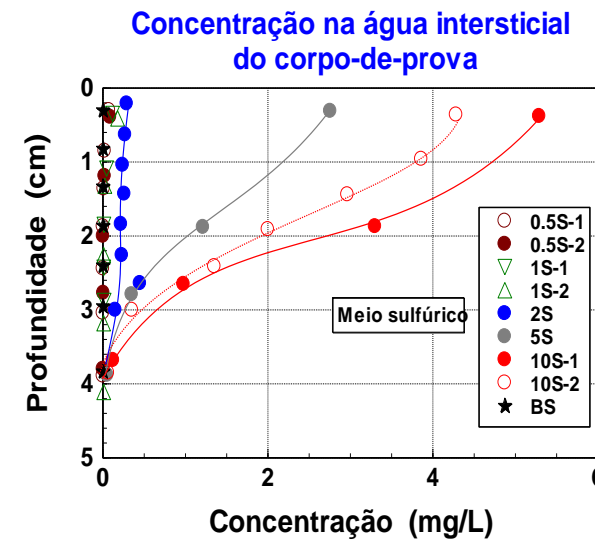
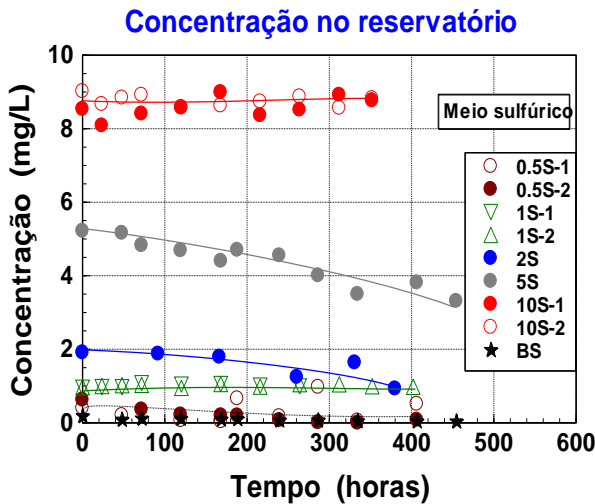
AMOSTRA	ATIVIDADE DA AMOSTRA POR MASSA (*) (Bq/kg)	ATIVIDADE NA CAMADA (*) (Bq)
Camada 1 - Topo	6259.35	349.71
Camada 2	13.87	0.81
Camada 3	3.35	0.19
Camada 4	3.35	0.19
Total (4.5 cm)		350.90
Solo (“background”)	53.43	12.17

(*) após dedução da atividade “background” do solo

Difusão de Urânio (^{238}U)

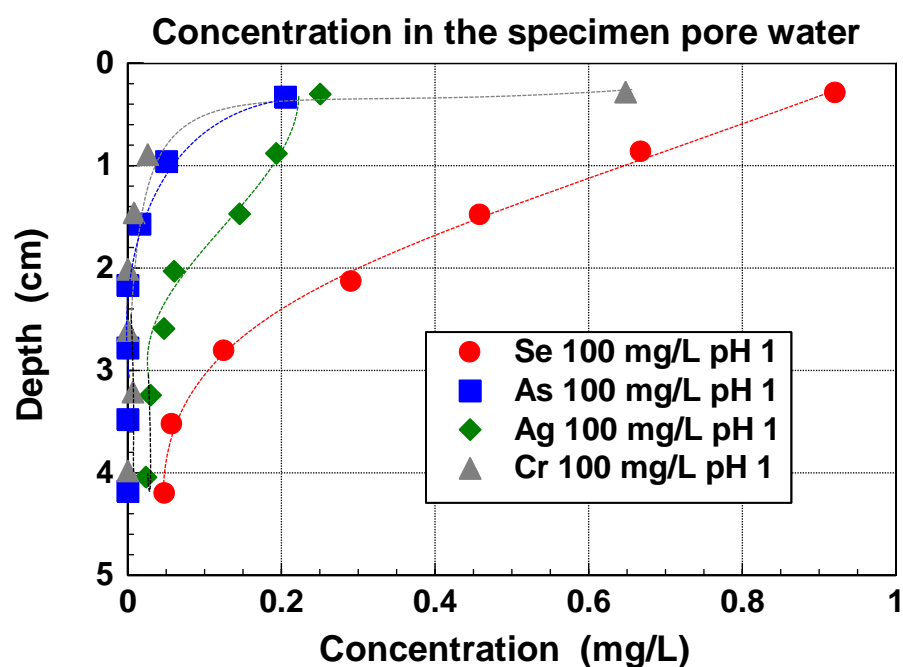
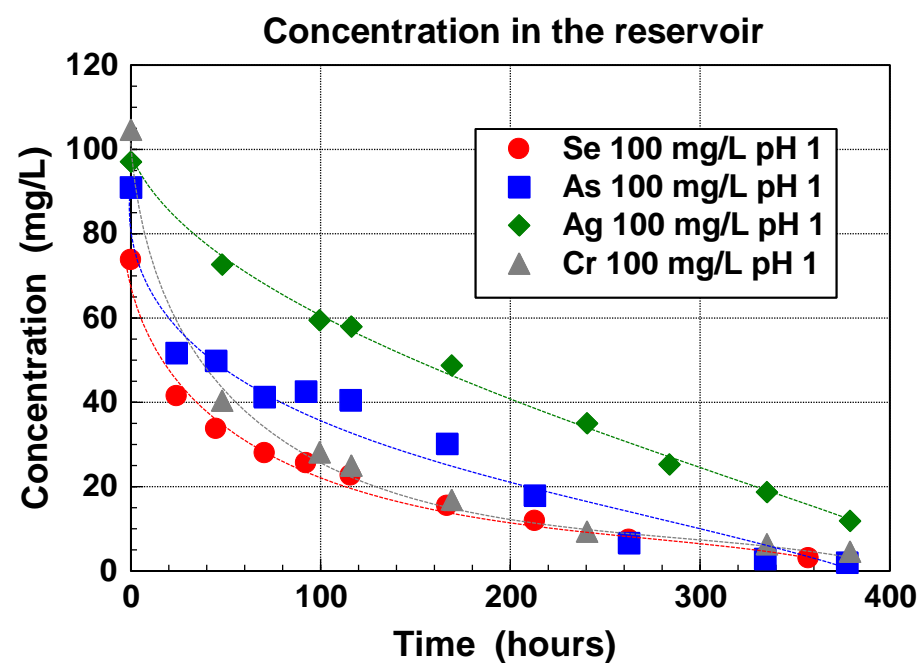


Meio nítrico

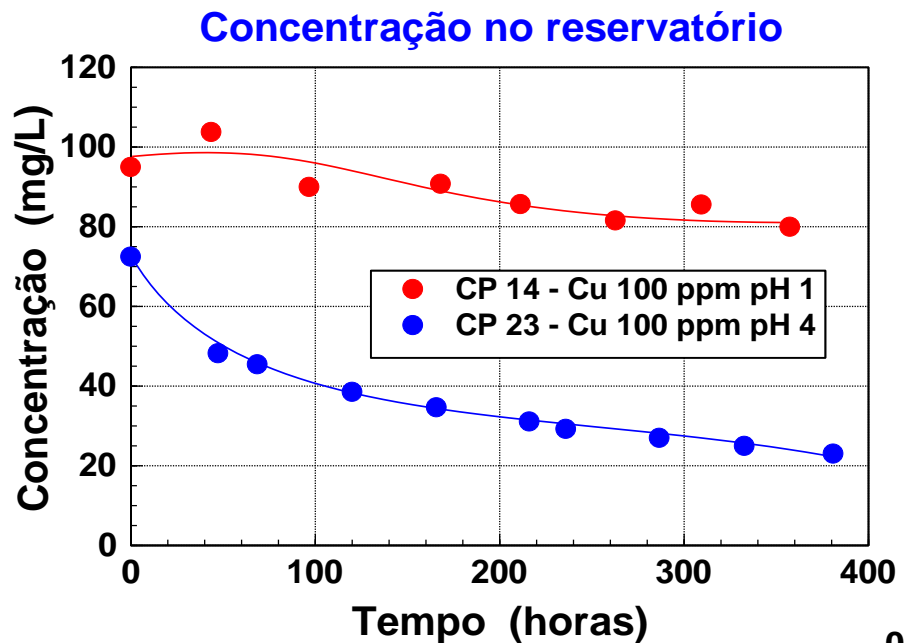


Meio sulfúrico

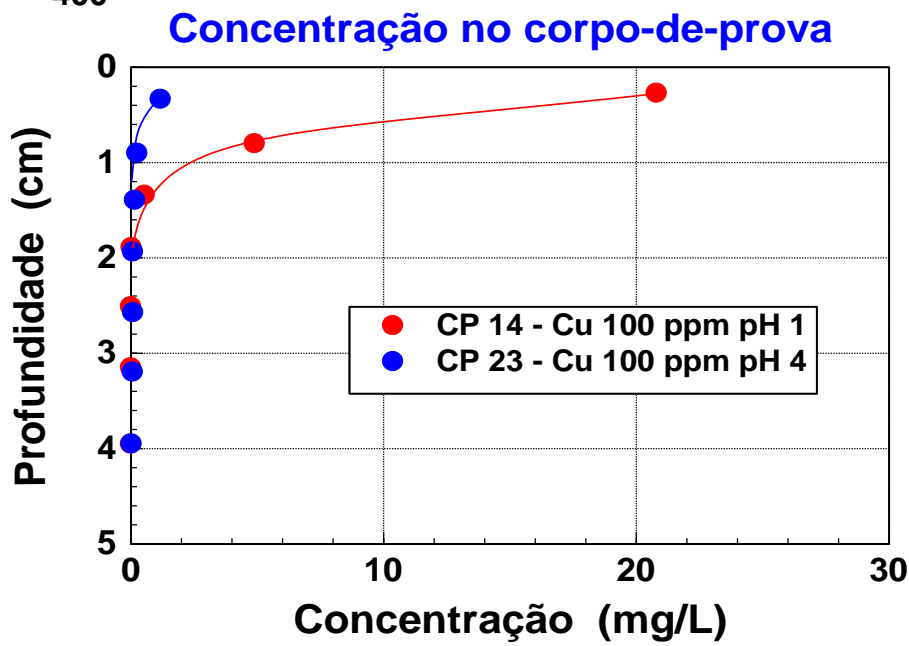
Difusão de metais em argila laterítica em pH 1

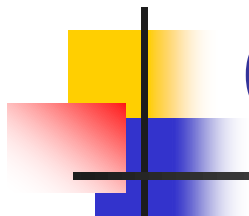


(Boscov et al 1999)



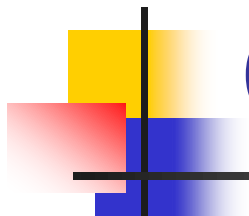
Cobre





Obtenção de parâmetros

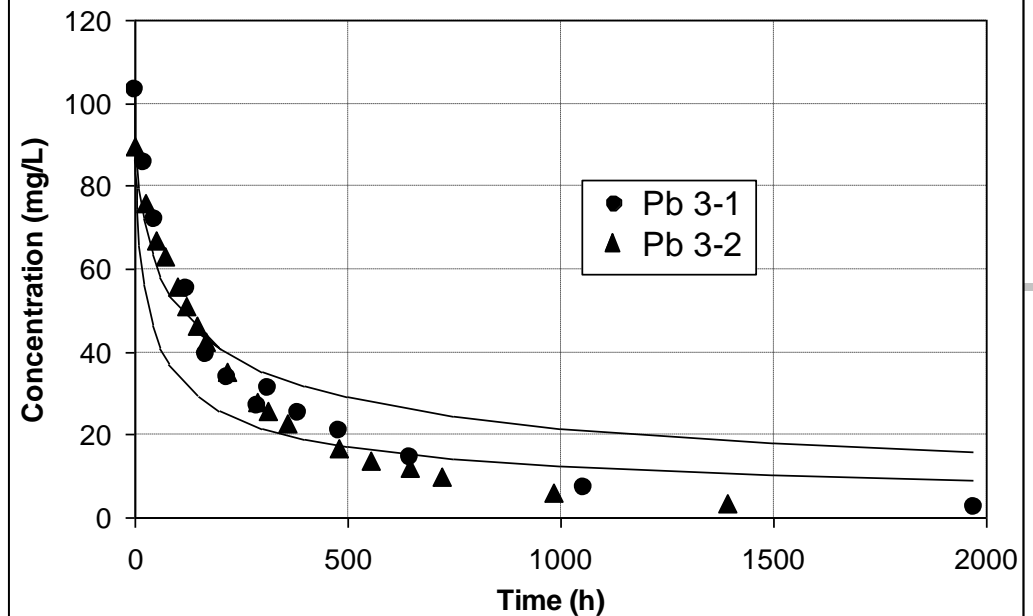
- Programas computacionais que aplicam a equação de transporte unidimensional de poluentes.
- Obtenção de K_d e D_d que resultam nas curvas que melhor se ajustam aos pontos experimentais



Obtenção de parâmetros

- Exemplo: chumbo em solo saprolítico siltoso da RMSP em pH 3

Pb pH 3 - Reservoir

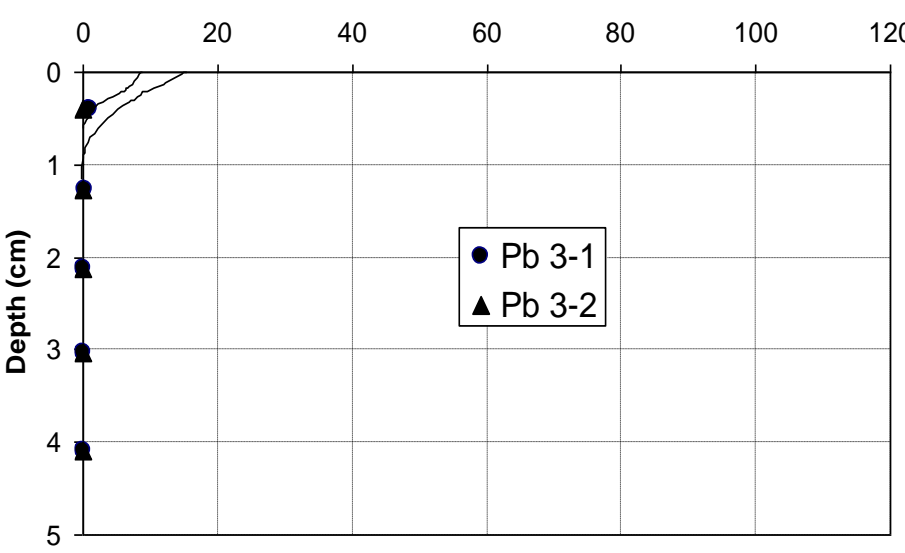


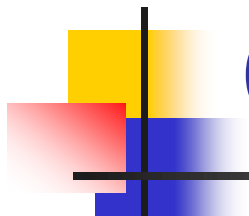
Difusão de chumbo em solo saprolítico siltoso de granito

(Stuermer e Bosco, 2008)

Pb pH 3 - Soil

Concentration (mg/L)





Observação

- Coeficientes de difusão de metais em solos:
da ordem de $10^{-10} \text{ m}^2/\text{s}$

Coeficientes de difusão em solução livre para cádmio e chumbo a 25°C são, respectivamente, $7,17 \times 10^{-10}$ e $9,45 \times 10^{-10} \text{ m}^2/\text{s}$.